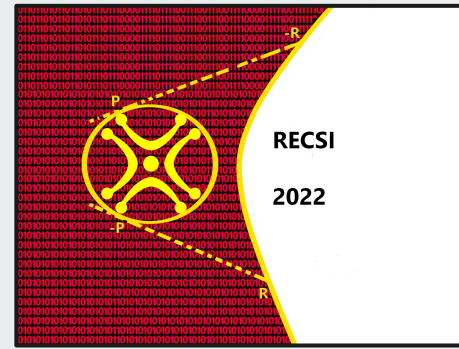




# Diseño e implementación de un esquema criptobiométrico post-cuántico de protección de patrones. Aplicación en reconocimiento biométrico mediante mano

Diego José Abengózar Vilar  
Carmen Sánchez Ávila

XVII Reunión Española sobre Criptología y Seguridad de la Información  
Universidad Politécnica de Madrid





# Índice

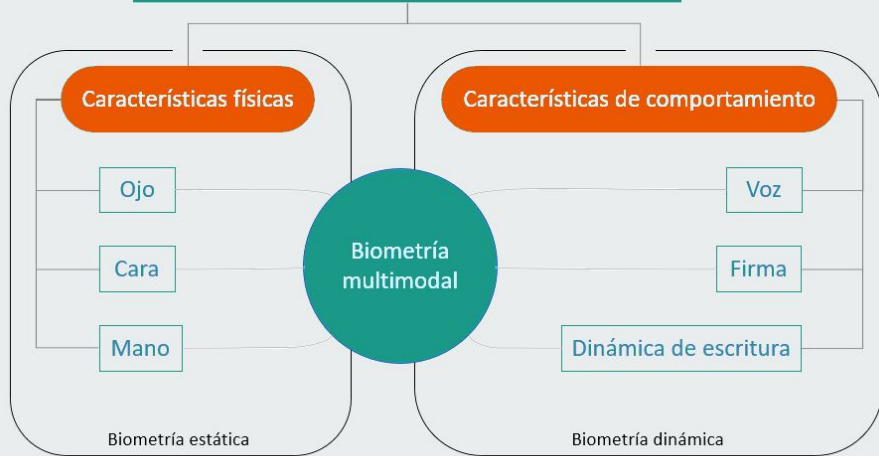
- Introducción
- Criptosistema de McEliece
- Esquema propuesto
- Aplicación práctica
  - Evaluación de fallos
  - Evaluación de rendimiento
- Conclusiones y líneas futuras

---

# Introducción

# Biometría

Sistemas automáticos de identificación biométrica



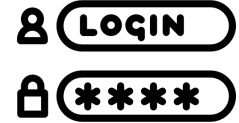
Caracterización estadística de señales biológicas





# Sistemas de autenticación

❖ Algo que sabes



❖ Algo que tienes



❖ Algo que eres

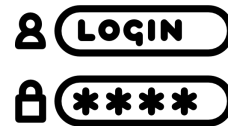


# Biometría



## Sistemas de autenticación

❖ Algo que sabes



❖ Algo que tienes



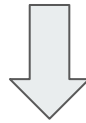
❖ Algo que eres



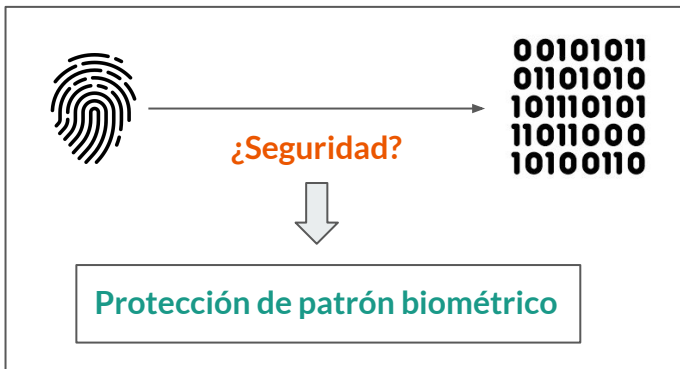


¿Seguridad?

00101011  
01101010  
101110101  
11011000  
10100110

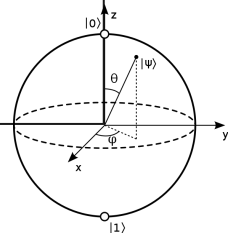


Protección de patrón biométrico



## Computación cuántica

- ❖ Irrupción de la computación cuántica
- ❖ Ej.: Algoritmo de Shor



Esquema criptobiométrico post-cuántico de protección de patrones

**¡NOVEDAD!**



---

# Criptosistema de McEliece

# Criptosistema de McEliece

- ❖ Robert J. McEliece, 1978
- ❖ Criptosistema post-cuántico
- ❖ Candidato Fase 4 NIST (Albrecht, Bernstein et al.)



## Criptosistema de McEliece

- ❖ Robert J. McEliece, 1978
- ❖ Criptosistema post-cuántico
- ❖ Candidato Fase 4 NIST (Albrecht, Bernstein et al.)



---

## Códigos Goppa

- ❖ Valery Denisovich Goppa, 1970
- ❖ Familia de códigos lineales correctores de errores





## Criptosistema de McEliece

$$S_{k \times k}$$

*scrambler*

$$G_{k \times n}$$

matriz  
generadora

$$P_{n \times n}$$

matriz de  
permutación



## Criptosistema de McEliece

$$S_{k \times k}$$

$$G_{k \times n}$$

$$P_{n \times n}$$

---

Clave pública  $(S \cdot G \cdot P, t)$

Clave privada  $(S, G, P)$



# Criptosistema de McEliece

Cifrado

$$\vec{c} = \vec{m} \cdot SGP + \vec{e}$$



# Criptosistema de McEliece

Cifrado

$$\vec{c} = \vec{m} \cdot SGP + \vec{e}$$

Descifrado

$$\vec{c}P^{-1} = \vec{m} \cdot SGPP^{-1} + \vec{e}P^{-1}$$

# Criptosistema de McEliece

Cifrado

$$\vec{c} = \vec{m} \cdot SGP + \vec{e}$$

Descifrado

$$\vec{c}P^{-1} = \vec{m} \cdot SGPP^{-1} + \underbrace{(\vec{e}P^{-1})}_{\text{peso } t}$$

algoritmo corrección errores

$$\downarrow$$
$$\vec{m} \cdot S$$



# Criptosistema de McEliece

Cifrado

$$\vec{c} = \vec{m} \cdot SGP + \vec{e}$$

Descifrado

$$\vec{c}P^{-1} = \vec{m} \cdot SGPP^{-1} + \underbrace{(\vec{e}P^{-1})}_{\text{peso } t}$$

algoritmo corrección errores

$$\begin{array}{c} \downarrow \\ \vec{m} \cdot S \\ \downarrow \cdot S^{-1} \\ \vec{m} \end{array}$$

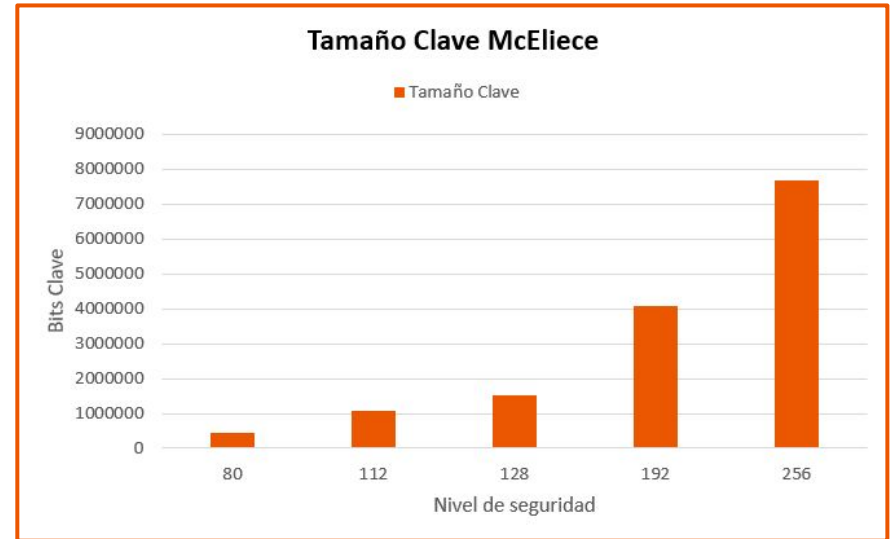
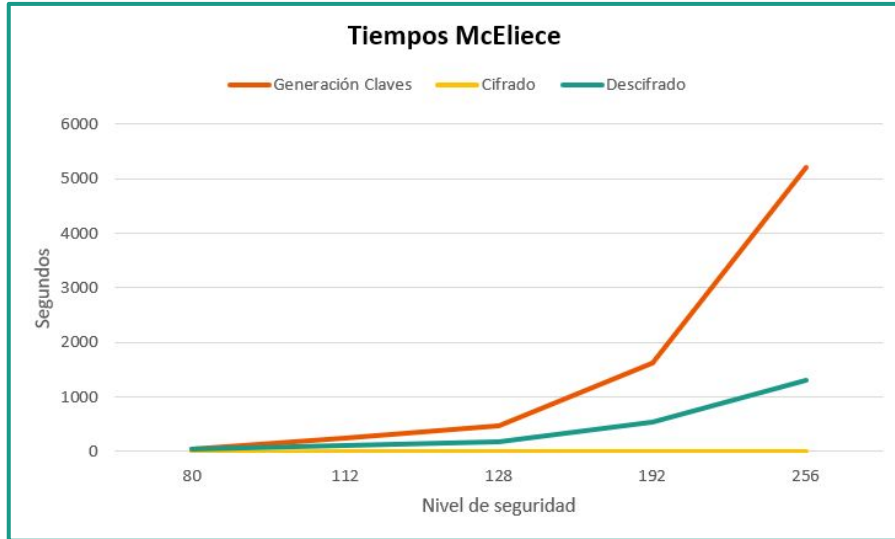
¡NOVEDAD!

# Implementación en Python

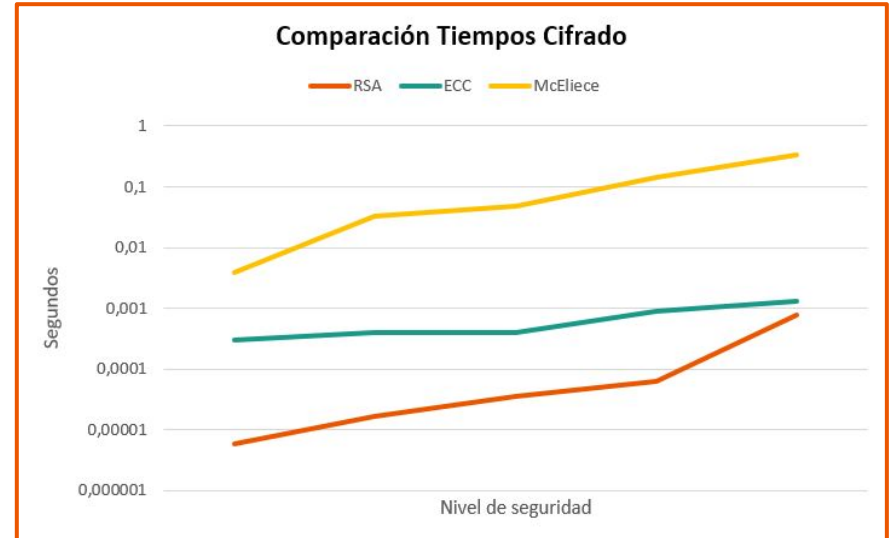
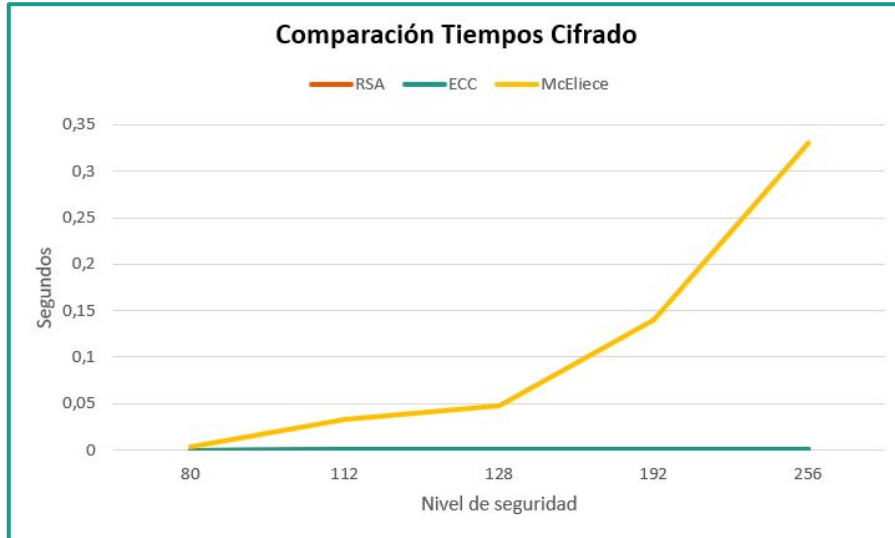
```
46 def decrypt(self, ciphertext):
47     if len(ciphertext) != self.n:
48         print(f"McEliece.decrypt: El texto cifrado tiene que ser de longitud {self
49             .n}")
50         return
51
52     # m * SGP * P^-1 + e * P^-1
53     invP = np.linalg.inv(self.P)
54     codeword = ciphertext.dot(invP)
55
56     # m * S
57     mS, errorVector = self.goppaCode.decode(codeword)
58
59     # m * S * S^-1
60     invS = np.linalg.inv(self.S)
61     m = mS.dot(invS)
62     return m, errorVector
```

```
6 class Goppa:
7
8     def __init__(self, m, n, t):
9         self.m = m
10        self.n = n
11        self.t = t
12        self.q = 2
13        self.k = None
14        self.GF = None
15        self.g = None
16        self.L = None
17        self.H = None
18        self.binH = None
19        self.C = None
20
21    def generate(self):
22        if (self.q**self.m < self.n):
23            print(f"Goppa.generate: No se puede construir el código Goppa con estos
24                parámetros: q={self.q}^m={self.m} < n={self.n}")
25            return
26
27        # Cuerpo GF(2^m)
28        self.GF = galois.GF(self.q**self.m)
29
30        # Generar g aleatorio, monico e irreducible (para evitar problemas) de grado t
31        # sobre GF
32        self.g = galois.irreducible_poly(self.q**self.m, self.t, method="random")
```

# Rendimiento

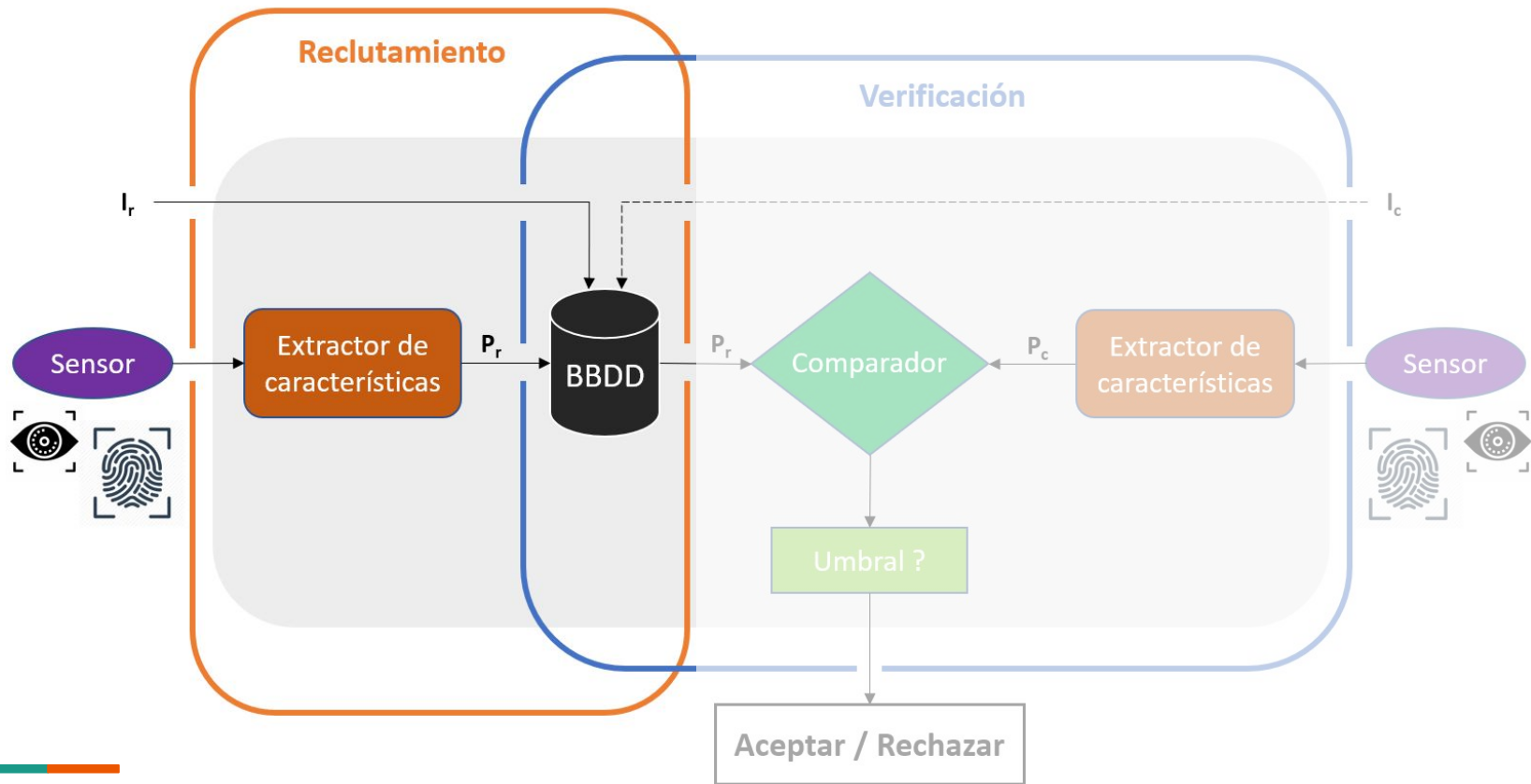


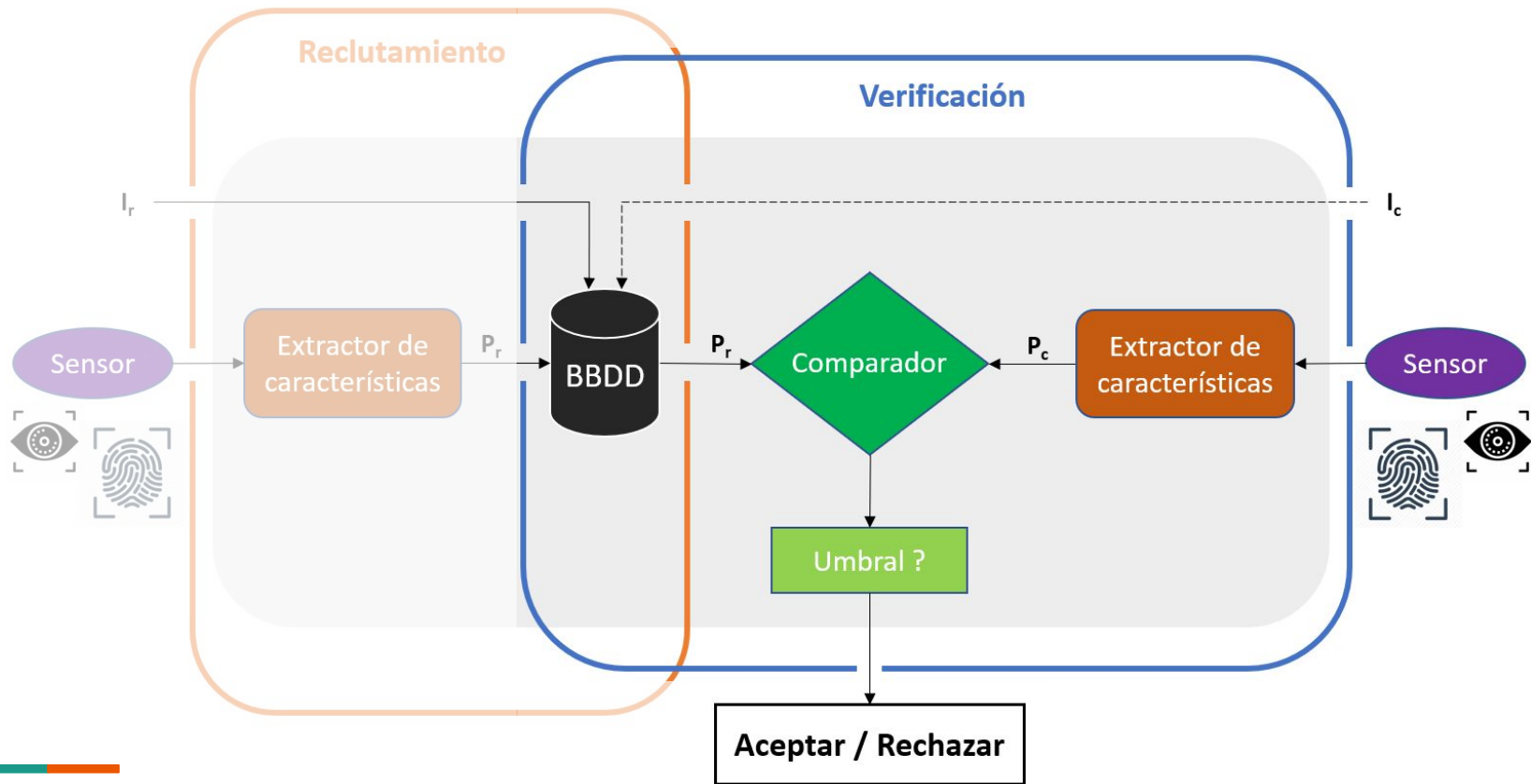
# Rendimiento



---

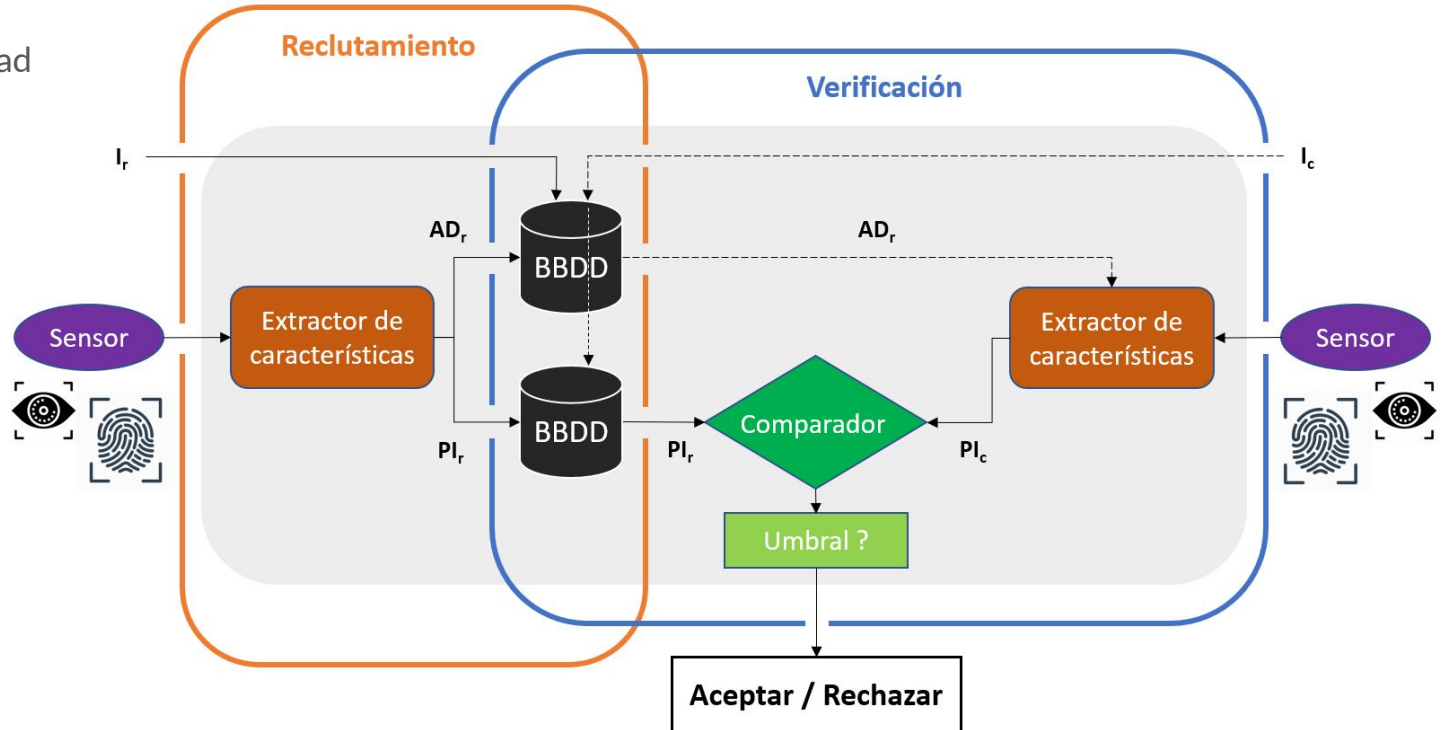
# Esquema propuesto





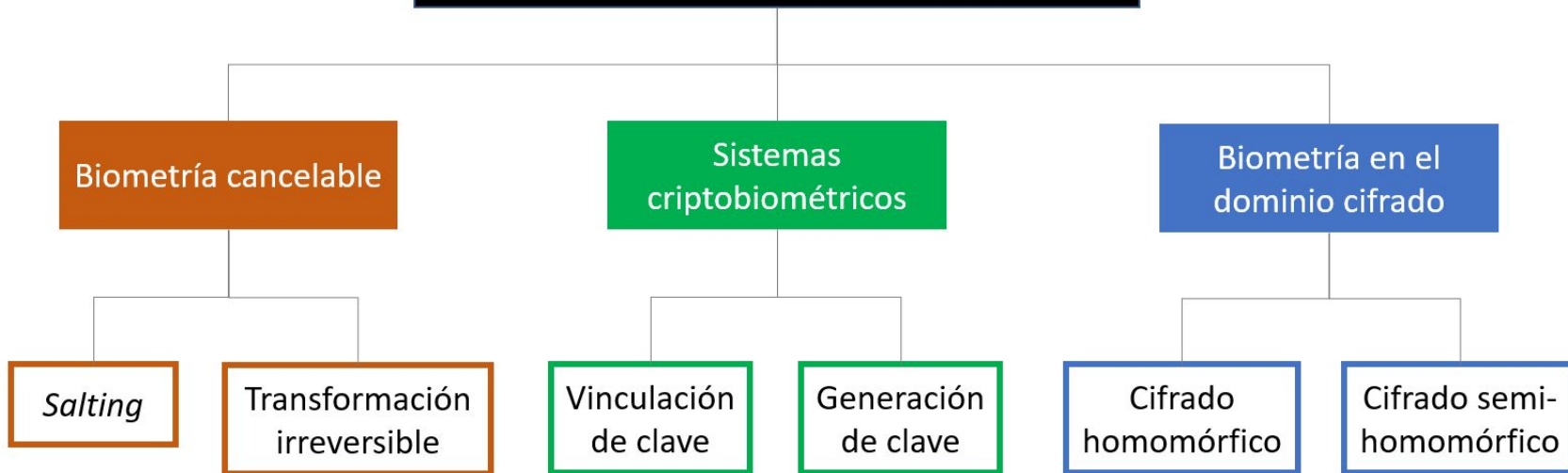
Estándar ISO 24745:2022

- ❖ Irreversibilidad
- ❖ Desvinculabilidad
- ❖ Revocabilidad





# Esquemas de protección de patrón biométrico

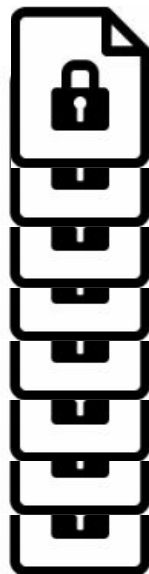


# Esquema propuesto





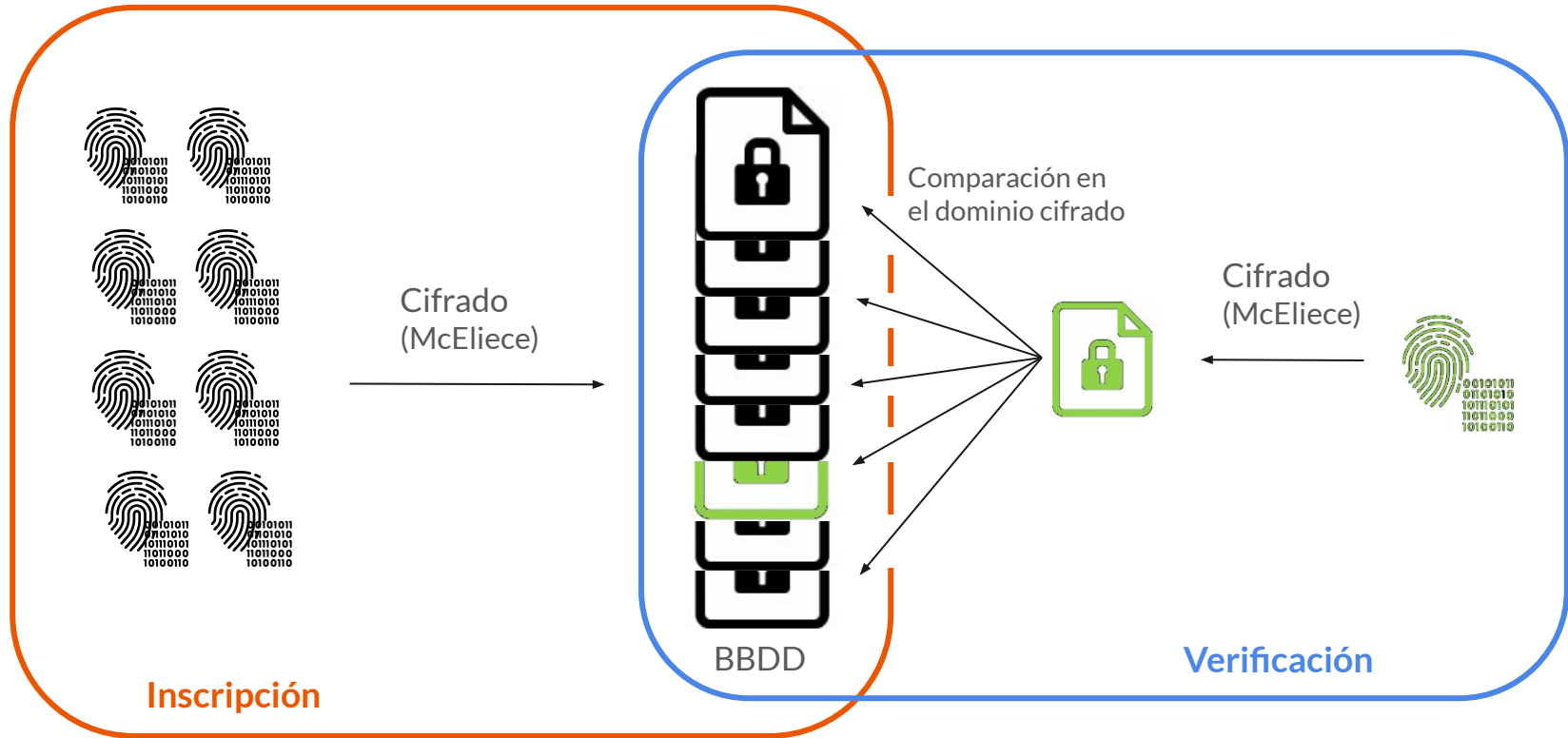
Cifrado  
(McEliece)



BBDD

Inscripción





# Inscripción

1. Se genera un par de claves, pública y privada, del criptosistema de McEliece.
2. Se separa cada patrón en bloques de la longitud correspondiente a las claves elegidas. En caso de que el último bloque no tenga la longitud suficiente, se añade un padding.

Identificador

35,

Patrón

01011111000101001010 ... 1001100000

Padding

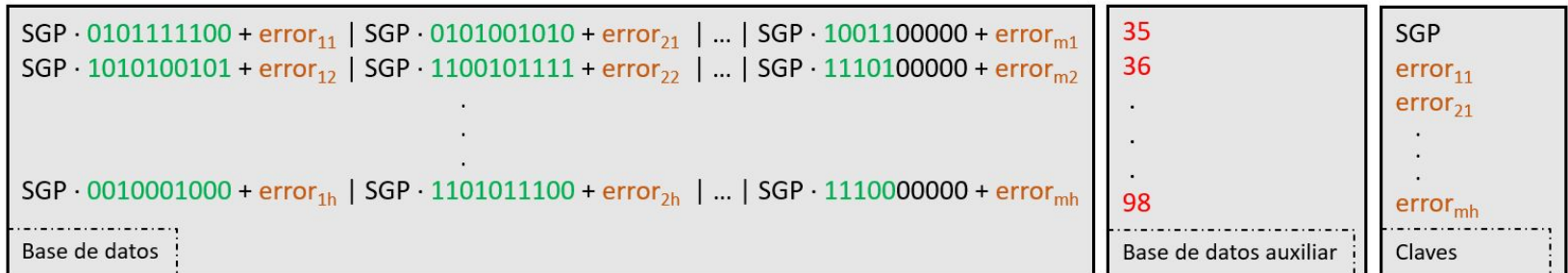
k

k

k

# Inscripción

3. Cada bloque se cifra con la clave pública y se almacena en la base de datos del sistema biométrico. En la fase de cifrado se añade un vector de errores aleatorio, por lo que, además de la clave pública, se almacena también cada vector de errores utilizado.
4. En una base de datos auxiliar se almacena el identificador de usuario correspondiente a cada patrón.





# Verificación

1. En la base de datos auxiliar se busca el identificador de usuario para determinar con qué patrón de referencia hay que comparar.
2. Se separa el patrón de consulta en bloques de la longitud correspondiente.
3. Se recupera la clave pública y el vector de errores correspondiente para cada bloque, y se cifra el patrón bloque a bloque.
4. Se realiza la comparación en el dominio cifrado de ambos patrones (distancia Euclídea).
5. Si la similitud de ambos patrones supera un cierto umbral, se acepta como válida la verificación.

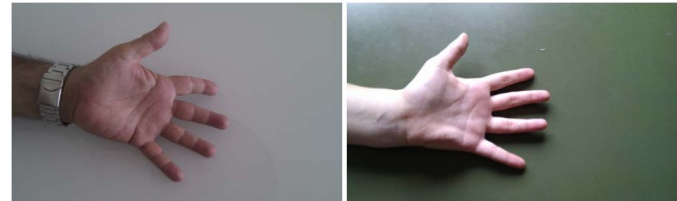
---

# Aplicación práctica



## Base de datos *gb2s\_ID*

- ❖ 96 usuarios, y 10 patrones por cada usuario
- ❖ Gran variabilidad entre las distintas muestras
- ❖ Filtro de Gabor de extracción de características principales
- ❖ Especificaciones detalladas en la memoria

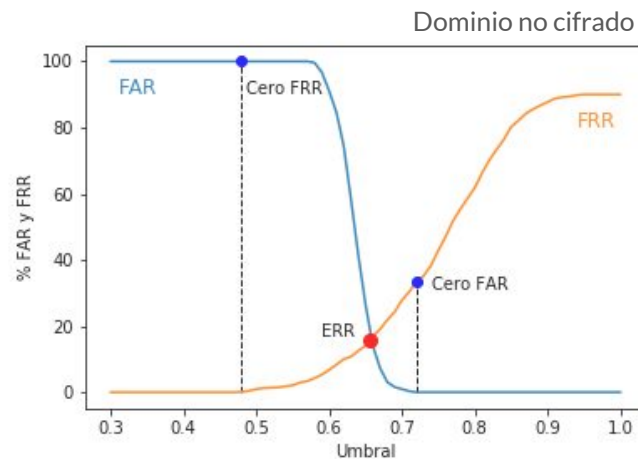
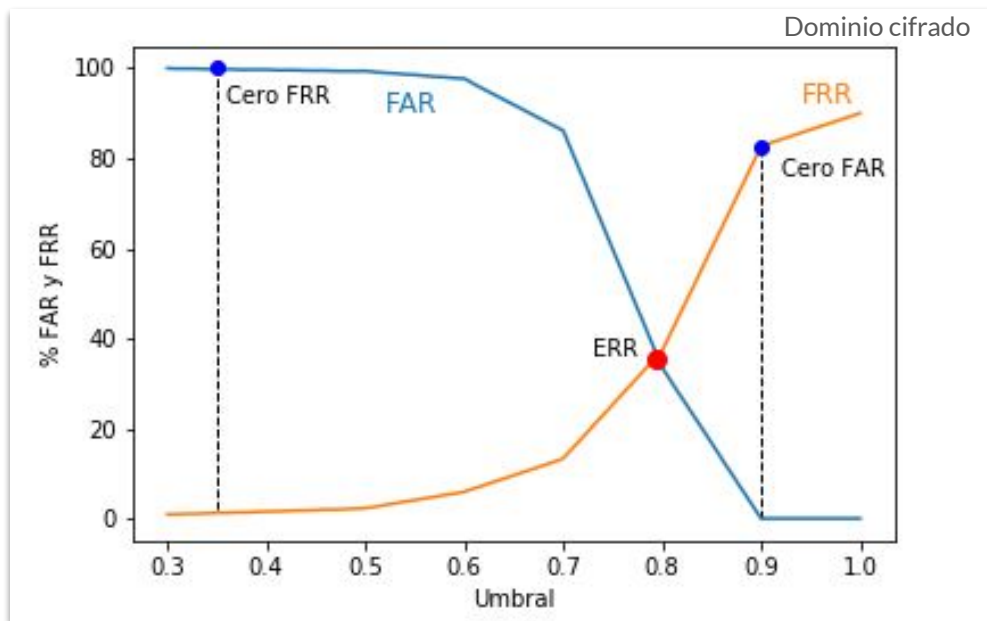




## Evaluación de errores

- ❖ **Tasa de falsos rechazos (FRR):** proporción de usuarios que siendo legítimos son rechazados por el sistema. Cuanto mayor es el umbral, más aumenta la tasa de falsos rechazos.
- ❖ **Tasa de falsas aceptaciones (FAR):** proporción de usuarios que siendo impostores son aceptados por el sistema. Cuanto menor es el umbral, más aumenta la tasa de falsas aceptaciones.
- ❖ **Tasa de igual error (EER):** momento en el que la tasa FAR es igual a la tasa FRR.
- ❖ **Cero FAR:** menor valor de la tasa FRR para el cual FAR = 0.
- ❖ **Cero FRR:** menor valor de la tasa FAR para el cual FRR = 0

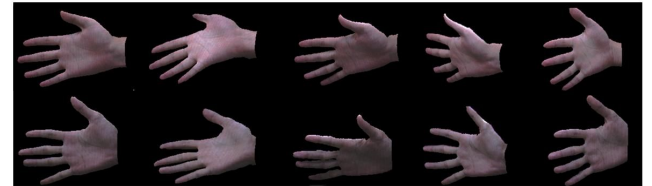
# Evaluación de errores



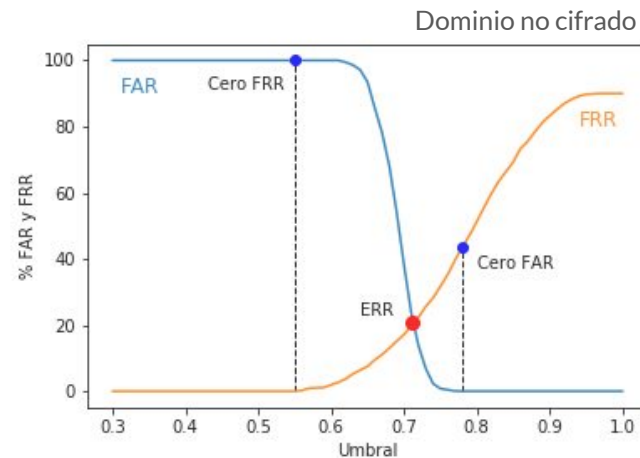
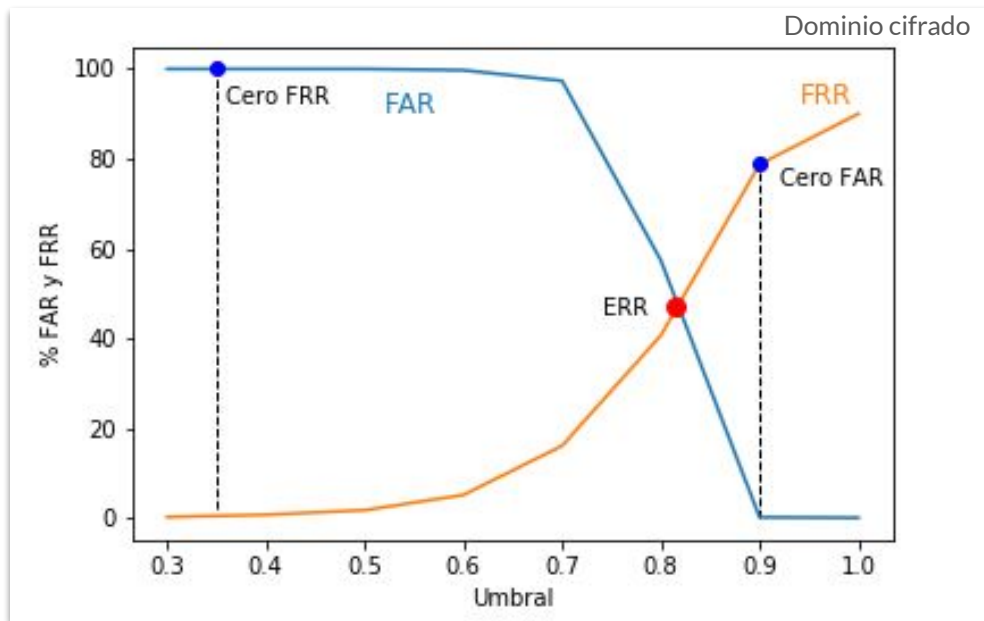
---

# Base de datos *Hong Kong Polytechnic University* *Contact-free 3D/2D Hand Images Database*

- ❖ 177 usuarios, y 10 patrones por cada usuario
- ❖ Gran variabilidad entre las distintas muestras
- ❖ Filtro de Gabor de extracción de características principales
- ❖ Especificaciones detalladas en la memoria



# Evaluación de errores





# Evaluación de rendimiento y seguridad

## Rendimiento

### ❖ Verificación

- *gb2s\_ID*: 1,4 segundos
- *Hong Kong DB*: 1,8 segundos

### ❖ Identificación

- *gb2s\_ID* (96 usuarios): 90 segundos
- *Hong Kong DB* (177 usuarios): 162 segundos



# Evaluación de rendimiento y seguridad

## Rendimiento

### ❖ Verificación

- *gb2s\_ID*: 1,4 segundos
- *Hong Kong DB*: 1,8 segundos

### ❖ Identificación

- *gb2s\_ID* (96 usuarios): 90 segundos
- *Hong Kong DB* (177 usuarios): 162 segundos

## Seguridad

### ❖ Information Set Decoding

- Solución: cifrar vectores de errores
- Recomendable almacenar dicha base de datos en un servidor diferente

---

# Conclusiones y líneas futuras





# Conclusiones

**Estudio del criptosistema de McEliece**



Implementación del criptosistema de McEliece



Esquema post-cuántico de protección de patrones



Caso práctico con patrones de mano



Buenas tasas de fallos y rendimiento



Buena primera aproximación, con posibilidad de mejoras

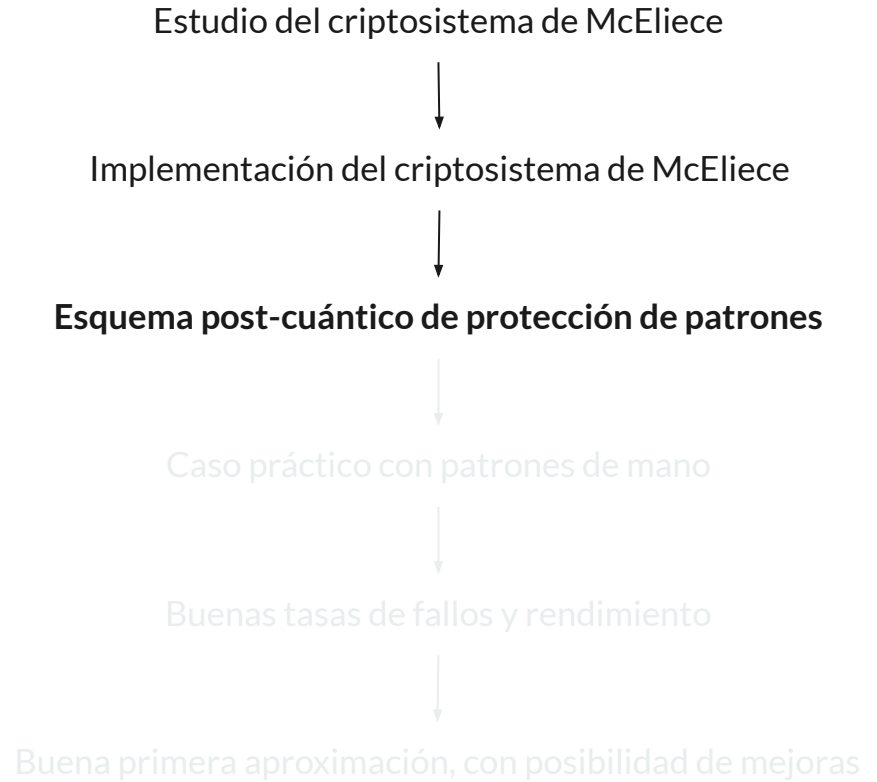


# Conclusiones



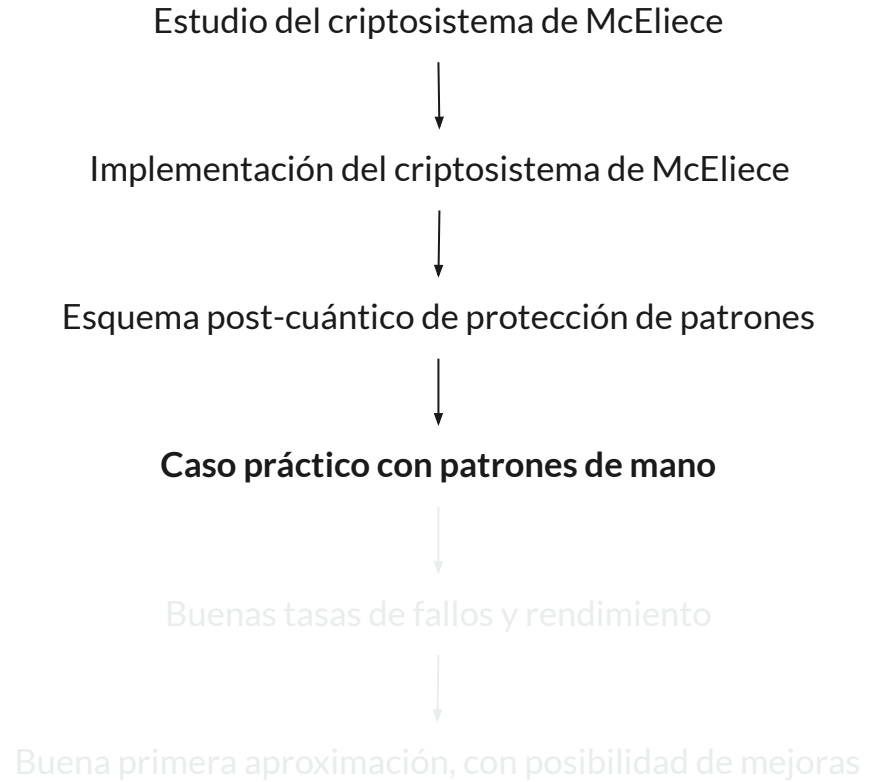


# Conclusiones





# Conclusiones





# Conclusiones



Estudio del criptosistema de McEliece



Implementación del criptosistema de McEliece



Esquema post-cuántico de protección de patrones



Caso práctico con patrones de mano



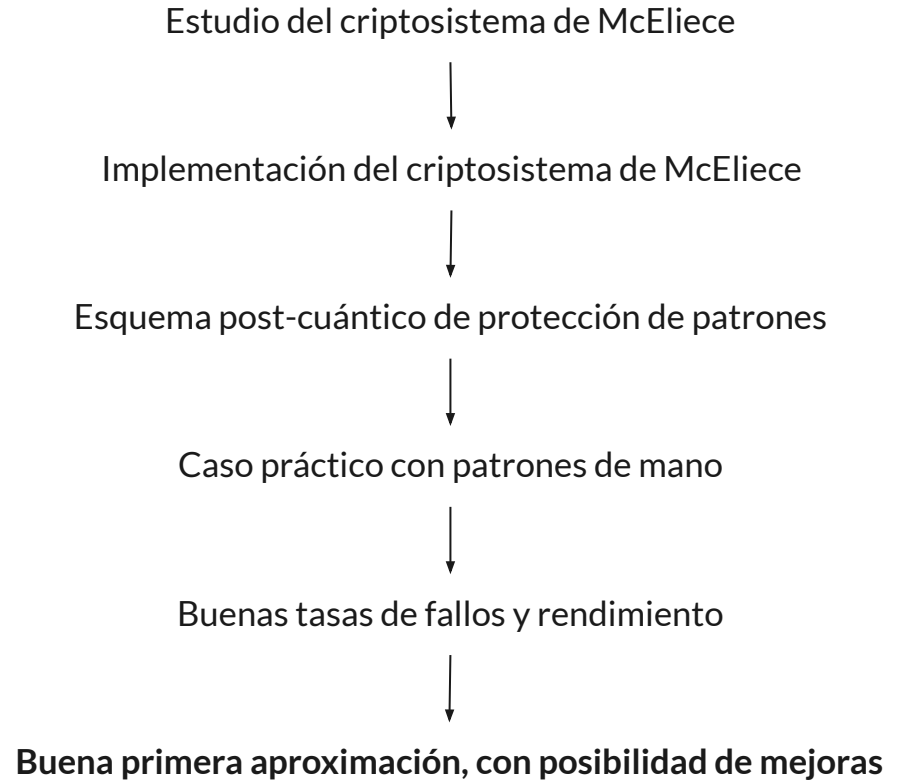
**Buenas tasas de fallos y rendimiento**



Buena primera aproximación, con posibilidad de mejoras



# Conclusiones



# Líneas futuras





## Líneas futuras

Otro mecanismo para solucionar los problemas de homomorfía de McEliece

Extracción de características diferente al filtro de Gabor

Modificaciones del criptosistema para evitar almacenar vectores de errores

Otras distancias en el módulo de comparación





## Líneas futuras

Otro mecanismo para solucionar los problemas de homomorfía de McEliece

**Extracción de características diferente al filtro de Gabor**

Modificaciones del criptosistema para evitar almacenar vectores de errores

Otras distancias en el módulo de comparación



## Líneas futuras

Otro mecanismo para solucionar los problemas de homomorfía de McEliece

Extracción de características diferente al filtro de Gabor

**Modificaciones del criptosistema para evitar almacenar vectores de errores**

Otras distancias en el módulo de comparación



## Líneas futuras

Otro mecanismo para solucionar los problemas de homomorfía de McEliece

Extracción de características diferente al filtro de Gabor

Modificaciones del criptosistema para evitar almacenar vectores de errores

Otras distancias en el módulo de comparación

**¡ Gracias !**

